機能性材料評価学特論 第9回

前回: ISO14577:2015 による材料特性評価



今回:計装化押込み試験による材料特性評価理論

 $(その 5, 可変 <math>\epsilon$ 係数補正および半径変位補正につい

て)

8. 計装化押込み硬さ試験による材料特性評価理論(その5)

"Higher accuracy analysis of instrumented indentation data obtained with pointed indenters", T Chudoba and N M Jennett, J. Phys. D: Appl. Phys. 41 (2008) 215407

8.1 要約

- ●ISO14577:2002 での押込みデータ解析に対して、精度向上のための補正方法として 「可変ε係数補正」と「半径変位補正」を提案
 - → いずれもISD 145 77:20 15 に反映とれた
 - 上言で2つの衣前正は、特に溶画地石菜(Fused Silica、FS) のような引擎性挙動の強い打料にて重要
 - → この2つを到み合めせて京南ですると、下Sの蒋門公面積 は13%程度変化する。
 - 有限智素法による数値解析結果と実際発昇を
 - 一の補正に基づき得られた面積関数は AFMで直接測定した面積関数と包く一致した

8.2 従来モデルの導出

●剛体円錐圧子による押込みを仮定

角维力場后: aeff=麻 と定義することで等価な円錐

とみなせる

$$h_{max} = h_{e} + h_{p} = h_{s} + h_{c}$$

$$H = \frac{F}{h_{s}} = \frac{F}{h_{s}} \cdot (2)$$

(a) × Under load

$$h_{max} = he + hp = h_{s} + hc$$

$$H = \frac{F}{Ac} = \frac{F}{\pi a^{2}} \cdot \cdot \cdot (2)$$

$$h_{c} = a + an \alpha = \frac{F}{\pi a} + an \alpha \cdot \cdot \cdot (3)$$

$$After unloading$$

$$M = \frac{F}{\pi a} + an \alpha \cdot \cdot \cdot (3)$$

$$E = \frac{\sqrt{R}}{2} \int_{A_c}^{A_c} \dots (4)$$

(3)(4) とも Acに依存する一正確な面積関数の

8.2(続き)

- ●従来の解析における仮定 (問題の単純化のため) (1) 負荷日子の接向出投票が回行 と、下午有後の指向出投票が 面積は増しい
- ②表面の3単1生変形は、押込みによる型性変形(圧痕 形成)入野響を受けない.
- (3) パイルアップ・もしくはシンクインと同程度の表面物はは 無視できる。
- ●トータルの弾性変位 he: he hs + (hc-ho) = hmax ho … (5)
- ●純粋な弾性接触における自由表面の弾性変位 hs: Hertzの 3単作生 存配・角度 α の剛体円錐: $F = \frac{2}{\pi} \cdot \frac{F^*}{\tan \alpha} \cdot h^m$ $m = 2 \cdots$ (() 祭用品

・半径Rの剛体球:
$$F = \frac{4}{3} E^* IRh^m$$
, $M = (.5 - ...(7))$
 $E^* = \frac{E}{1 - \nu^2}$, $\frac{dF}{dh} = S$

- →表面上の任意の位置における円錐による垂直変位: Sneddon の3年十年角異を $W(r)=\frac{2}{\pi}\left(\frac{\pi}{2}-\frac{1}{4}\right)$ a tand $(r \leq a) \cdots (8)$ 卷肥
- · この引にドロの(hsに本日等) むまがドロ(hmaxに相等) を代入し、hs/hmaxのはとをとると、hs/hmax=1-元となる。
- .この比とmの行: E信敬, Dliver& Pharr (1992)で 專入, ho=hmax-& = ...(9)

表 8.1 各圧子の弾性変形パラメータ

Indenter/pressure	$h_{\rm s}/h_{\rm max}$	m	ε
Flat punch	1	1	1
Sphere, paraboloid of revolution	0.5	3/2	0.75
Cone	$1-2/\pi = 0.3634$	2	0.7268
Constant pressure, circular boundary	$2/\pi = 0.6366$	1	0.6366

8.2(続き)

· 左子自身の3単1年変形の考慮:衣复台3単1生草FLの夢入 $\frac{1}{E_{I}} = \frac{1 - V_{I}^{2}}{E_{I}} + \frac{1 - V_{S}^{2}}{E_{C}}$ -- (10)

8.3 付加的塑性変形が存在する時の表面弾性変位

●圧子による接触時の接触圧力分布が、圧子形状および接触状態(弾性接触時 or 塑性 変形開始後)にどう影響を受けるのか?

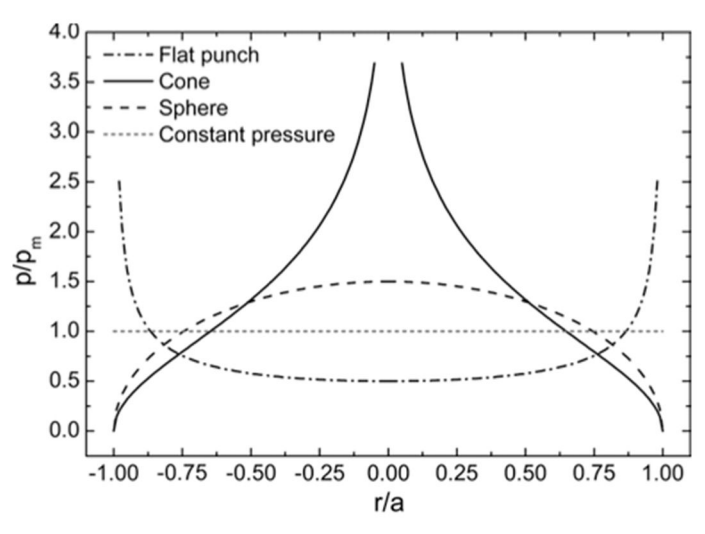


図 8.2 接触圧力分布(弾性接触時)

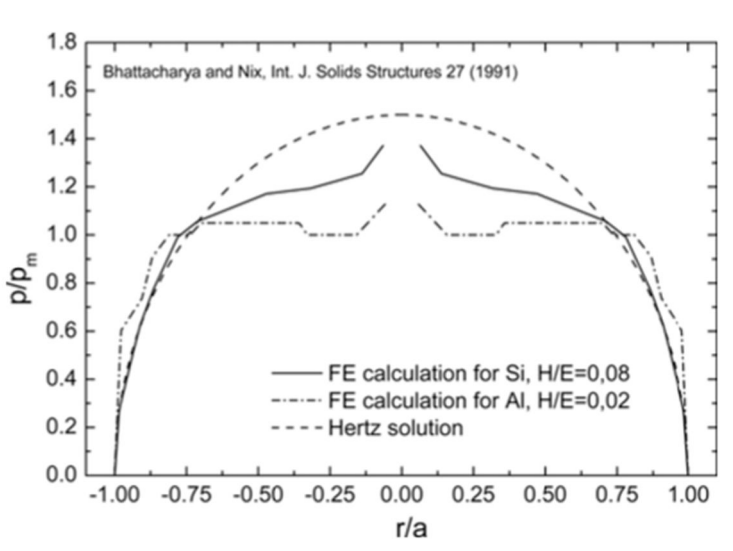


図 8.3 接触圧力分布(塑性変形開始後)

- ①弾性接触時: 角年析に接向な圧力分布を示めることが可能 円金位圧ナ:中心部で無限人
- フラットハンチ(円筒形): 当前部で無限人

実際の打料では圧力(応力)が一定限度を超えると 逆个生変形が初まる(B冬代する)ため、このような圧力 分布にはなるない.

- ②塑性変形開始後、何年不行的にはまなるよるいたのでは何言十年(何思智素シミュレーンョン)・円住住において、中心名下の圧力が電頁者に任下
- ですの異なる計料にないて、たか分布が異なる.
- 聖付変形りの号の響により圧力分布が変化する。

8.3(続き)

· B年新曲銀色表出すかけ乗剛散F=C(h-ha)m-(11) において、3単小生持句出であれば、旬金はは円金はと 同様にM=2になるはず

自動在すによる実験データから m: (.zn/.6の範囲

6:0.75 . いずれも表1になけるまむをその 何と一致する。



MJJWEの値は圧子TYUKにふてごやまるものでは びく、負荷とB手荷にあて影響を受ける (建作变形)

<u>8.4 「可変ε係数」の導入</u>

その作義でして、圧を形状でけてはなく打料の圧力 分布の野智を考慮したもの、

Bolshakovらの「特個先端」そでれを適用、hs/hmax 比色等出

 $\frac{hs}{h_{max}} = 1 - \frac{1}{R} \frac{T\left(\frac{m}{2m-2}\right)}{T\left(\frac{2m-1}{2m-2}\right)}$

→ISO 14577:2015に反映

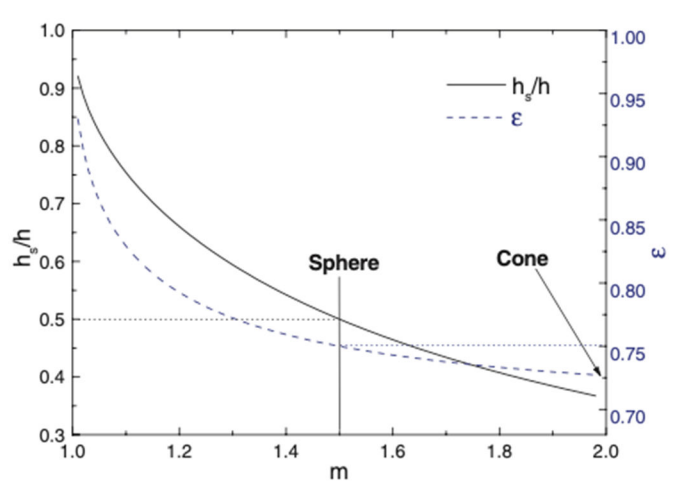


図 8.4 m の関数としての ε および hs/hmx

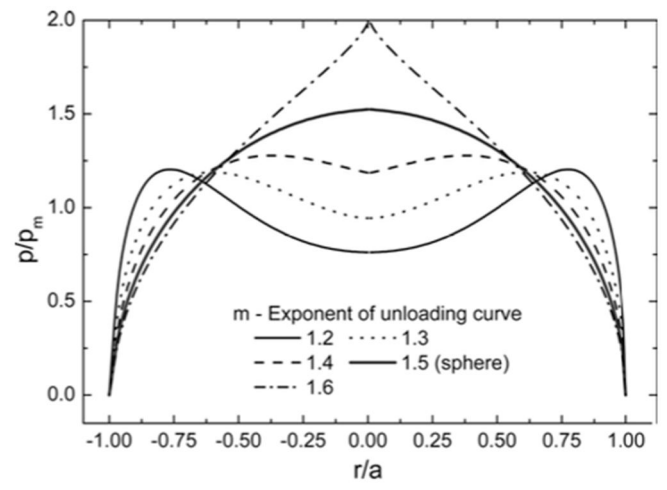


図 8.5 接触圧力分布に及ぼす m の影響

8.4(続き)

- hs/hmx J.Jw Eld Mの関数とに変化(図8.4)
- · mが1.2~1.6の範囲によける圧か分布(図8.5)
- → 主は圧か変化は中心部で住じているが、全体の指例 面積に対する中心部の割合はる外目で大工でなり、
- · 円組のおるもちは竹か生った仕子: 8=075へは8で 梦儿
- ●一般的に、8=0.75の代別に可変をイ系製を 用いることのみによる精度の改善はそれけいですく 1384.